

## تحلیل اثر موج شوک حاصل از انفجار بر لوله‌های مغروق

حامد شاه محمدی<sup>۱</sup> و سهیل محمدی<sup>۲\*</sup>

<sup>۱</sup>دانش آموخته کارشناسی ارشد سازه های دریایی - پردیس دانشکده های فنی - دانشگاه تهران

<sup>۲</sup>دانشیار دانشکده عمران - پردیس دانشکده های فنی - دانشگاه تهران

(تاریخ دریافت ۸۵/۶/۲۵، تاریخ دریافت روایت اصلاح شده ۸۷/۱/۲۷، تاریخ تصویب ۸۸/۱۲/۲۰)

### چکیده

انفجار یک ماده منفجره قوی در زیر آب، دو پالس فشاری تولید می‌کند: یک موج شوک که مدت آن بسیار کوتاه است (در حد چند ده ثانیه) و یک پالس حباب که مربوط به انبساط محصولات انفجار است و با موج شوک همراه می‌شود. تعیین نقش موج شوک، جریان و حباب ایجاد شده در فرآیند تخریب هنوز در مجتمع علمی در دست مطالعه است. تحلیل اثر انفجار زیر آب بر لوله های مغروق می‌تواند کمک خوبی برای ارزیابی تأثیر حملات تروریستی و خرابکارانه بر سازه های مشابه، مانند پایه های سکوهای دریایی و اسکله ها، باشد. در این مقاله سعی می‌شود اثر پالس اوایله یعنی موج شوک بر لوله های توخالی مغروق در آب بررسی و مدل سازی عددی شود. بسته به شرایط، اعم از نوع و مقدار ماده منفجره و فاصله آن نسبت به سازه و سطح آب، پالس اوایله (موج شوک) می‌تواند قسمت عمده و یا بخشی از پاسخ سازه را باعث گردد. برای لوله و سیال مجاور آن همراه با مزهای غیر انعکاسی در معرض انفجار مقدار مشخصی از یک ماده منفجره قرار می‌گیرند و تحلیل به طور کاملاً درگیر و با احتساب اثرات اندرکنش سازه و سیال انجام می‌گیرد.

### واژه های کلیدی : انفجار زیر آب، موج شوک، محیط آکوستیک، اندرکنش سازه و سیال

### مقدمه

انفجار یک ماده منفجره قوی<sup>۱</sup> در زیر آب، دو پالس فشاری<sup>۲</sup> تولید می‌کند: یک موج شوک<sup>۳</sup> که با یک پالس حباب<sup>۴</sup> که مربوط به انبساط محصولات انفجار است، همراه می‌شود.<sup>[۲]</sup>

موج شوک و فشار آن با حرکت شعاعی آب به سمت بیرون کاهش می‌یابد. سپس جرم متراکم و زیاد گاز که بعد از انفجار باقی مانده، شروع به انبساط می‌کند و فشار آن کاهش یافته و فشار در آب نیز به سرعت افت می‌کند. برای مواد منفجره قوی مانند TNT، فشار شوک با یک کاهش نمایی همراه است و مدت زمان آن در بیشتر موارد در حدود چند میلی ثانیه است. برای نمونه، سرعت اولیه موج شوک نزدیک به نقطه انفجار حدود 3000 m/s و فشار در حدود atm 23000 می‌باشد. هم سرعت و هم فشار موج شوک به سرعت با فاصله و دور شدن از محل انفجار کاهش می‌یابد و در فواصل دور به مقادیر آکوستیک (مقادیر مربوط به انتشار صوت در آب) می‌رسد.<sup>[۱ و ۳]</sup>.

اما در مورد پالس حباب، محصولات گازی انفجار منبسط می‌شوند و آب اطراف محل انفجار را به سمت بیرون می‌رانند. شعاع حباب افزایش یافته و به بیش از شعاع تعادل متناظر با فشار هیدرостиکی در عمق مورد نظر می‌رسد. علت این موضوع اثر اینرسی آب در حال

توسعه روز افزون استفاده از نفت و گاز در صنعت و تکنولوژی و همچنین حمل و نقل کالاهای از طریق راههای آبی بیش از پیش بر اهمیت سازه های دریایی افزوده است. سازه های دریایی اعم از سکوها، اسکله ها و خطوط لوله کف دریا علاوه بر بارهایی مانند بار باد، موج، جریان آب، جریان جزر و مدی، زلزله و بارهای مرده و زنده ممکن است تحت اثر بار ناشی از انفجار<sup>۱</sup> که می‌تواند اتفاقی و یا ناشی از حملات خرابکارانه باشد، نیز قرار بگیرند. به علت اهمیت این سازه ها، مقاومت آنها در برابر بارهای ناشی از انفجار عامل مهمی در اینمنی کلی سازه است و بررسی اثر انفجار بر این سازه ها در برخی مواقع لازم به نظر می‌رسد.

انفجار، یک واکنش شیمیایی در ماده منفجره است که مواد انفجاری را به گاز با دما و فشار بسیار بالا تبدیل می‌کند و این فرآیند با نهایت سرعت و ایجاد مقدار زیادی حرارت انجام می‌گیرد. دمای ایجاد شده در گازهای تولیدی در حدود  $3000^{\circ}\text{C}$  است. بدین ترتیب هر ماده منفجره اعم از جامد، مایع یا گاز اساساً ترکیبی ناپایدار بوده که با آغاز انفجار، تغییرات شیمیایی آن را به محصول پایدارتر تبدیل می‌کند.<sup>[۱]</sup>.

[www.SID.ir](http://www.SID.ir)

سازه ها در عمقی از آب، دور از سطح و بستر دریا، در نظر گرفته می شوند تا بتوان از اثرات آنها بر عکس العمل سازه صرف نظر کرد.

### فشار شوک

برای تعیین موج شوک ایجاد شده در اثر انفجار زیر آب تئوری ها و روابط تجربی مختلفی ارائه شده است. از آن جمله می توان به تئوری های Kirkwood-Bethe و Penney اشاره کرد [۱۲و۱۳].

موج شوک ایجاد شده در هر نقطه یک مقدار فشار حداقل<sup>۷</sup> داشته که در کمتر از  $s^{-7}$  از زمان انفجار ایجاد می شود [۱۰] و سپس تقریباً به صورت نمایی در مدت کوتاهی کاهش می یابد [۱]. تحت شرایط متقاضان TNT کروی، حداقل فشار شوک مربوط به ماده منفجره از رابطه تجربی زیر بر حسب MPa به دست می آید [۱۰و۱۳و۱۴]:

$$P_m = 52.16 \left( \frac{W^{1/3}}{R} \right)^{1.13} \quad (1)$$

وزن ماده منفجره TNT بر حسب kg و R فاصله از ماده منفجره بر حسب m است.

همان طور که گفته شد، فشار شوک در یک نقطه بر حسب زمان به صورت نمایی کاهش می یابد که رابطه زیر را می توان برای تغییرات زمانی فشار شوک ارائه کرد [۱۰و۱۳و۱۴]:

$$P(t) = P_m e^{-t/\theta} \quad (2)$$

در این رابطه  $\theta$  ثابت زمانی می باشد ( زمان رسیدن فشار به مقدار  $P_m / e$  ) که می توان آن را طبق رابطه تجربی زیر بر حسب میکرو ثانیه به دست آورد [۱۰و۱۳]:

$$\theta = 96.5 \left( \frac{W^{1/3}}{R} \right)^{-0.22} \quad (3)$$

### فرمول بندی دینامیک سیال

در این بخش تحلیل محیط در گیر سازه و سیال<sup>۸</sup> به طور خلاصه ارائه می شود [۱۵].

معادله تعادل برای حرکات کوچک یک سیال تراکم پذیر<sup>۹</sup> به صورت زیر است:

$$\frac{\partial p}{\partial x} + \gamma(x, \theta_i) \dot{u}^f + \rho_f(x, \theta_i) \ddot{u}^f = 0 \quad (4)$$

p اضافه فشار در سیال (فشار بیشتر از فشار، x موقعیت مکانی ذره سیال،  $\dot{u}^f$  سرعت ذره سیال،  $\ddot{u}^f$

حرکت توسط پالس ایجاد شده است. سپس فشار در حباب کمتر از فشار هیدروستاتیک محل می شود. این موقعیت پایدار نبوده و حباب در اثر اضافه فشار هیدروستاتیکی منقبض شده و به اصطلاح فرو می ریزد و شاع حباب این بار به مقداری کوچکتر از حالت تعادل می رسد و فشار درون آن بیشتر از فشار هیدروستاتیکی می شود که سبب انبساط دوباره آن می شود. این انبساط و انقباض به مرور با اتفاق انژری همراه می شود و سبب حرکت حباب به سمت سطح آب می شود [۲].

برای پدیده انفجار زیر آب و اثر آن بر یک سازه مغروف کارهای تحلیلی و آزمایشگاهی مختلفی انجام شده است . Cole [۱] ، در فاصله سال های ۱۹۴۱-۱۹۴۶، به خاطر نیاز مربوط به جنگ جهانی دوم، تئوری های مختلف در مورد انفجار زیر آب و برخی روابط تحلیلی و تجربی برای اثر آن بر سازه ها را جمع آوری کرد. Wang و Huang [۵و۴] ، تحلیلی تئوریک برای اندرکنش امواج کروی و لوله های استوانه ای انجام دادند. Hunter و Geers [۶]، مدلی را برای پالس ثانویه انفجار یعنی پالس حباب و حرکت و Martin تغییرات شاع حباب ارائه کردند. شکل [۷و۹و۱۰]، روابطی تجربی و تحلیلی برای تغییر شکل صفحاتی که تحت اثر بارگذاری انفجاری قرار می گیرند ارائه دادند. Rajendran و Narasimhan [۱۱و۱۰]، با یک سری آزمایش روی صفحات مستطیلی و دایره ای شکل توانستند روابطی تجربی برای ماکریسم تنش ایجاد شده در اثر انفجار، در مرکز این صفحات ارائه دهند.

در این مقاله بعد از بررسی انفجار زیر آب و تعیین مشخصات موج شوک حاصل از آن، با استفاده از نرم افزار ABAQUS ابتدا صفحاتی تحت اثر موج شوک ناشی از انفجار مدل شده و نتایج حاصل از تحلیل های عددی با روابط تحلیلی و یا نتایج آزمایشگاهی موجود مقایسه شده و کالیبراسیون نرم افزار و مدل سازی انجام و کارایی روابط تجربی سنجیده می شود. سپس، مجموعه ای از لوله ها که می تواند بخشی از پایه های فلزی سکوهای دریایی و یا اسکله ها باشد، با شرایط مختلف مدل شده و تحت بارگذاری پالس اولیه انفجار زیر آب، یعنی موج شوک، قرار داده می شود و رفتار آنها بررسی می شود. خاطر نشان می شود که در این مطالعه فقط موج شوک در نظر گرفته می شود و پالس حباب و کالیبراسیون<sup>۱۰</sup> احتمالی در نظر گرفته نمی شود. همچنین

از طرف دیگر رفتار سازه‌ای با معادله کار مجازی تعریف می‌شود

$$\int_V \delta s \cdot \sigma dV + \int_V \alpha_c \rho \delta u^m \cdot \dot{u}^m dV + \int_V \rho \delta u^m \cdot \ddot{u}^m dV \quad (17)$$

$$+ \int_{S_{fs}} p \delta u^m \cdot n dS - \int_{S_t} \delta u^m \cdot t dS = 0$$

که در آن  $S_{fs}$  سطحی است که حرکت محیط آکوستیک به طور مستقیم به حرکت سازه متصل می‌شود،  $\sigma$  تنش در یک نقطه از سازه،  $p$  فشار اعمالی بر سطح مشترک سیال-سازه،  $n$  عمود بر سازه بسمت خارج،  $\rho$  چگالی ماده،  $\alpha_c$  ضریب میرایی مناسب جرمی<sup>۱۷</sup> (بخشی از فرض میرایی رایله برای سازه)،  $\dot{u}^m$  شتاب یک نقطه در سازه،  $t$  نیروی سطحی اعمالی بر سازه،  $\delta u^m$  میدان تغییراتی تغییر مکان، و  $\delta s$  تغییر کرنش است.

مسئله با تعریف توابع درونیابی منفصل سازی<sup>۱۸</sup> می‌شود، در سیال  $p^P = H^P$  و در سازه  $u^m = N^N$  که  $P = 1, 2, \dots$  و  $N = 1, 2, \dots$  به ترتیب به درجات آزادی فشار در سیال و تغییر مکان در سازه اشاره دارد. با استفاده از روش گالرکین برای سیستم سازه‌ای، میدان تغییراتی به صورت  $\delta u^m = N^N \delta u^N$  است. برای سیال رابطه  $\delta p = H^P \delta p^P$  را با جایگذاری رابطه (۱۸) استفاده می‌کنیم

$$\delta p^P = \frac{d^2}{dt^2} (\delta \hat{p}^P) \quad (18)$$

تابع جدید  $\delta \hat{p}^P$  معادله تغییراتی واحدی را می‌سازد که از جمع معادلات (۱۶) و (۱۷) با سازگاری ابعادی به دست می‌آید:

$$-\delta \hat{p}^P \left\{ M_f^{PQ} \hat{p}^Q + C_f^{PQ} \hat{p}^Q + (K_f^{PQ} + K_{fi}^{PQ}) p^Q - S_{fs}^{PM} \ddot{u}^M \right\} + \delta u^N \left\{ I^N + M^{NM} \ddot{u}^M + C_{(m)}^{NM} \dot{u}^M + [S_{fs}^{QN}]^T p^Q - P^N \right\} = 0 \quad (19)$$

اندیس‌های  $P$  و  $Q$  مربوط به درجات آزادی فشار در سیال و  $M$  و  $N$  مربوط به درجات آزادی تغییر مکان در سازه هستند و داریم:

$$C_f^{PQ} = \int_{V_i} \frac{\gamma}{\rho_f K_f} H^P H^Q dV \quad (20)$$

$$M_f^{PQ} = \int_{V_i} \frac{1}{K_f} H^P H^Q dV \quad (21)$$

$$K_{fi}^{PQ} = \int_{S_{fs}} \frac{1}{a_1} H^P H^Q dS \quad (22)$$

$$K_f^{PQ} = \int_{V_i} \frac{1}{\rho_f} \frac{\partial H^P}{\partial x} \cdot \frac{\partial H^Q}{\partial x} dV \quad (23)$$

شتاب ذره سیال،  $\rho_f$  چگالی سیال،  $\gamma$  درگ حجمی<sup>۱۰</sup>

(نیرو بر واحد حجم بر سرعت) و  $\theta_i$  متغیرهای مستقلی مانند دما، رطوبت هوا و یا شوری آب هستند.

سیال، غیر لرج<sup>۱۱</sup>، خطی و تراکم پذیر فرض می‌شود، بنابراین:

$$p = -K_f(x, \theta_i) \left( \frac{\partial}{\partial x} \cdot u^f \right) \quad (5)$$

$K_f$  مدول بالک<sup>۱۲</sup> سیال می‌باشد.

مرز یک ناحیه از محیط آکوستیک که از معادلات (۴) و (۵) پیروی می‌کند می‌تواند به زیر ناحیه‌های

مطابق زیر تقسیم شود:  $S_{fp}$  : در این بخش از مرز مقدار فشار آکوستیک مشخص است.

$S_{fi}$  : مرز آکوستیک تابشی<sup>۱۳</sup>. اغلب در حالاتی که محیط آکوستیک به صورت نامحدود گسترش دارد، بهتر است که ناحیه محاسباتی را کوچک و یک شرط مرزی اعمال کرده تا امواج عبوری از ناحیه محاسباتی به سمت خارج را مدل کند.

برای استخراج معادله دیفرانسیل با مشتقات جزئی مورد استفاده در انتگرال گیری مستقیم آنالیزگذرا<sup>۱۴</sup> معادله (۴) را بر  $\rho_f$  تقسیم کرده، مشتق آنرا نسبت به  $x$  گرفته (با صرف نظر کردن از مشتق  $\gamma/\rho_f$  به علت کوچکی) و نتایج را با مشتقات زمانی معادله (۵) ترکیب کرده تا معادله حرکت برای سیال بر مبنای فشار سیال به دست آید:

$$\frac{1}{K_f} \ddot{p} + \frac{\gamma}{\rho_f K_f} \dot{p} - \frac{\partial}{\partial x} \left( \frac{1}{\rho_f} \frac{\partial p}{\partial x} \right) = 0 \quad (6)$$

با استفاده از فرم ضعیف<sup>۱۵</sup> معادله و اعمال روش جزء به جزء، حالت تغییراتی نهایی برای محیط آکوستیک به دست می‌آید:

$$\int_{V_i} \left[ \delta p \left( \frac{1}{K_f} \ddot{p} + \frac{\gamma}{\rho_f K_f} \dot{p} \right) + \frac{1}{\rho_f} \frac{\partial \delta p}{\partial x} \frac{\partial p}{\partial x} \right] dV \quad (7)$$

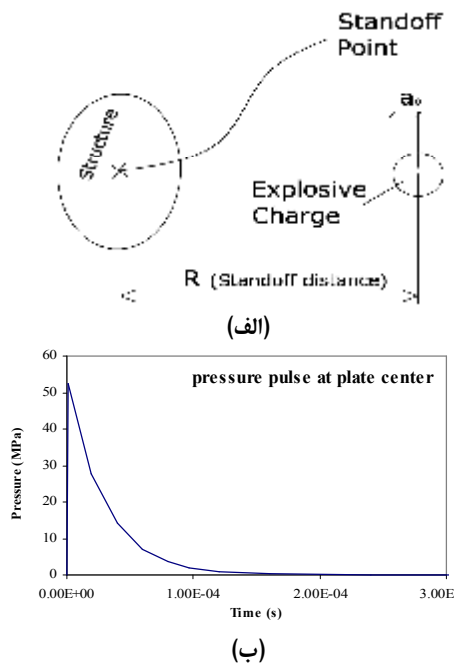
$$+ \int_{S_{fs}} \delta p \left( \frac{1}{c_1} \dot{p} + \frac{1}{a_1} p \right) dS = 0$$

که در آن پارامترهای  $c_1$  و  $a_1$  به صورت زیر تعریف می‌شوند:

$$\frac{1}{c_1} = \left[ \frac{\xi}{\sqrt{\rho_f K_f}} \right] \quad (8)$$

$$\frac{1}{a_1} = \xi \left[ \frac{\beta}{\rho_f} + \frac{\gamma}{2\rho_f \sqrt{\rho_f K_f}} \right] \quad (9)$$

اینکه در زمان صفر، مقدار فشار نیز صفر فرض می‌شود زیرا مدت زمانی در حدود  $10^{-7}$  s از لحظه انفجار طول می‌کشد تا موج شوک به نقطه مورد نظر برسد. فولاد با چگالی  $7800 \text{ kg/m}^3$  و مدول یانگ  $210 \text{ GPa}$  و تنش تسلیم  $360 \text{ MPa}$  در نظر گرفته می‌شود.



شکل ۱: (الف) شکل شماتیک از موقعیت standoff point و standoff point (ب) پالس فشاری ناشی از  $30 \text{ gr}$  ماده منفجره (ب) پالس فشاری ناشی از  $30 \text{ cm}$  از مرکز صفحه  $\text{TNT}$  در فاصله  $30 \text{ cm}$  از مرکز صفحه.

صفحه فولادی با  $640 \text{ المان خطی ۴ گرهی}$  پوسته ای  $S4R$  موجود در ABAQUS مش بندی می‌شود. بعد این المان‌ها حدود  $1 \text{ cm}$  در نظر گرفته می‌شود. محیط سیال نیز با  $12800 \text{ المان خطی آکوستیک شش وجهی و هشت گرهی}$  به نام AC3D8R با همان بُعد حدود  $1 \text{ cm}$  مش بندی می‌شود. نمایی از این مش بندی در شکل ۲ دیده می‌شود. برای در نظر گرفتن اندرکنش در سطح مشترک سیال و سازه، این دو سطح به صورت Tie به یکدیگر بسته شده‌اند. سطح لوله به عنوان سطح master و سطح سیال در تماس با لوله به عنوان سطح slave انتخاب می‌شود. بدین ترتیب تغییر مکان‌های سازه‌ای لوله به فشارهای آکوستیک مش سیال، که به حرکات ذرات سیال مربوط هستند، در سطح مشترک مرتبط می‌شوند. با توجه به اینکه در این مطالعه، فقط اثر موج شوک یعنی پالس اولیه فشار ناشی از انفجار بررسی می‌شود،

$$M^{NM} = \int_V \rho N^N \cdot N^M dV \quad (24)$$

$$S_{fs}^{PM} = \int_{S_{fs}} H^P \bar{n} \cdot N^M dS \quad (25)$$

$$I^N = \int_V \beta^N \cdot \sigma dV \quad (26)$$

$$C_{(m)}^{NM} = \int_V \alpha_c \rho N^N \cdot N^M dV \quad (27)$$

$$P^N = \int_{S_t} N^N \cdot t dS \quad (28)$$

که  $\beta^N$  تابع درون یاب کرنش<sup>۱۹</sup> است.

معادلات در دامنه زمانی با استفاده از گرینه انتگرال‌گیری دینامیکی صریح<sup>۲۰</sup> در نرم افزار انتگرال‌گیری می‌شوند. همچنین در کلیه مسائلی که در این مقاله مدل شده‌اند، مرز ناحیه آکوستیک (سیال) به صورت  $S_{fi}$  در نظر گرفته شده است.

### شبیه سازی‌های عددی

بررسی انفجار بر روی یک صفحه دایره‌ای

در این مسأله یک صفحه در ابعاد به نسبت کوچک به شکل دایره تحت اثر انفجار مقدار کمی TNT توسط نرم‌افزار ABAQUS مدل می‌شود و تنش و تغییر مکان در مرکز آن با برخی روابط تجربی و تحلیلی که در این مورد وجود دارد مقایسه می‌شود. صفحه دایره‌ای شکل با قطر  $25 \text{ cm}$  و ضخامت  $2 \text{ mm}$  تحت اثر انفجار ماده منفجره TNT به مقدار  $30 \text{ gr}$  قرار می‌گیرد که در فاصله  $30 \text{ cm}$  از مرکز صفحه قرار دارد. صفحه از جنس فولاد بوده و فقط جلوی آن که در مععرض انفجار قرار می‌گیرد در تماس با آب است (پشت صفحه در مععرض هوا قرار دارد). آب جلوی لوله به صورت استوانه ای به قطر  $25 \text{ cm}$  و طول  $20 \text{ cm}$  مدل می‌شود، به طوری که سطح خارجی انتهای سیال در فاصله  $10 \text{ cm}$  از محل انفجار قرار دارد.

تاریخچه زمانی فشار شوک در نزدیکترین نقطه صفحه به محل انفجار یعنی مرکز صفحه اعمال می‌شود. این نقطه در اصطلاح standoff point نامیده می‌شود. در شکل (۱) موقعیت این نقطه و ماده منفجره و فاصله آن تا سازه نشان داده شده است. برای محاسبه نمودار فشار- زمان از روابط (۱) و (۲) و (۳) استفاده می‌شود. بر طبق این روابط ماکریزم فشار شوک  $P_m$  و ثابت زمانی  $\theta$  به ترتیب برابر  $54.27 \text{ MPa}$  و  $29.75 \mu\text{s}$  به دست می‌آید. نمودار فشار- زمان اعمالی کر صفحه در شکل (۱) رسم شده است. قابل توجه

همان طور که مشاهده می شود تغییر شکل صفحه به طور یکنواخت از لبه ها به سمت مرکز صفحه افزایش می یابد. نمودار تغییر مکان مرکز صفحه نیز بر حسب زمان در شکل (۴) رسم شده است. مراکزیم این تغییر مکان برابر ۱۹.۱ mm می باشد.

برای ارزیابی نتایج عددی به دست آمده، آنها را با برخی روابط تجربی و تحلیلی مختلفی که برای پیش بینی تغییر مکان صفحات دایره ای تحت اثر انفجار زیر آب رائمه شده است مقایسه می کنیم.

Nurick برای تغییر شکل مرکز صفحات دایره ای  $\Phi_c$ ، فرمول زیر را پیشنهاد داده است [۸]:

$$\left(\frac{\delta}{t}\right)_c = 0.425\Phi_c + 0.227 \quad (20)$$

در این رابطه  $t$  ضخامت صفحه و  $\Phi_c$  پارامتری بی بعد برای صفحات دایره ای است که از رابطه زیر و بر اساس واحدهای انگلیسی به دست می آید [۱۰ و ۹]:

$$\Phi_c = \frac{I_{tot}}{\pi r t^2 (\rho \sigma_y)^{1/2}} \quad (21)$$

$r$  شعاع صفحه دایره ای،  $\rho$  چگالی آب،  $\sigma_y$  تنفس تسليم صفحه و  $I_{tot}$  ضربه <sup>۲۲</sup> موج شوک یا سطح زیر منحنی فشار - زمان است (بر حسب N.s) که بر روی کل صفحه انگرالگیری می شود. ضربه در واحد سطح  $I$  سطح زیر منحنی فشار - زمان است [۱۰ و ۱۱]:

$$I(t) = \int_0^t P(t) dt \quad (22)$$

که می توان آنرا از رابطه تجربی زیر بر حسب  $N.s / m^2$  به دست آورد [۱۳ و ۱۰]:

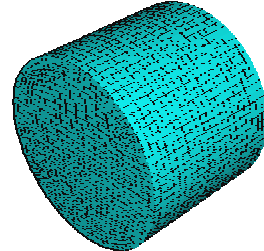
$$I = 5760 W^{1/3} \left( \frac{W^{1/3}}{R} \right)^{0.89} \quad (23)$$

که  $W$  بر حسب kg و  $R$  بر حسب m است. برای محاسبه  $I_{tot}$  باید سطح صفحه به سطوح کوچک تر حلقوی تقسیم شود و در هر قسمت  $I$  محاسبه و در مساحت آن ضرب شود تا بدین ترتیب  $I_{tot}$  برای کل صفحه به دست آید. مقادیر پارامترهای معرفی شده برای این مسئله عبارتند از:

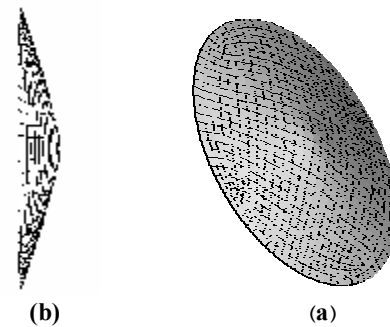
$$r = 12.5 \text{ cm} = 4.92 \text{ in}, \quad t = 2 \text{ mm} = 0.079 \text{ in}, \quad W = 30 \text{ gr}, \quad R = 30 \text{ cm}, \quad \rho = 1025 \text{ kg/m}^3 = 64 \text{ pcf}, \\ \sigma_y = 360 \text{ MPa} \approx 52 \text{ ksi}, \quad I_{tot} = 87.6 \text{ N.s} = 19.69 \text{ lbs}$$

بدین ترتیب  $\Phi_c$  برابر ۱۶.۱۱۵ و تغییر مکان مرکز صفحه in ۰.۵۶ یا ۱۴.۲ mm به دست می آید.

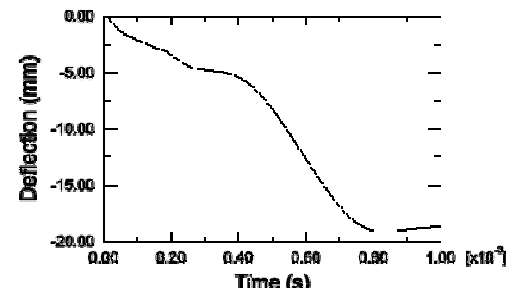
بنابراین زمان آنالیز ۰.۰۰۱ s در نظر گرفته می شود که در طی آن، بخش عمده واکنش سازه فقط ناشی از فشار شوک است.



شکل ۲: مشن بندی سازه و سیال جلوی آن.



شکل ۳: تغییر شکل صفحه (a) نمای سه بعدی (b) نمای از کنار.



شکل ۴: نمودار تغییر مکان - زمان برای مرکز صفحه.

تغییر مکان های لبه صفحه در هر سه جهت، گیردار می شود تا کل صفحه به صورت جسم صلب حرکتی نداشته باشد. همچنین به این دلیل که صفحه در طرف انفجار در محیطی نامحدود از آب قرار گرفته، لذا فقط بخشی از سیال مدل شده و در سطح خارجی این ناحیه شرایط مرزی پرتوی (غیر انعکاسی<sup>۲۱</sup>) اعمال می شود که بدین معنی است که موج ایجاد شده از مرز این ناحیه بدون انعکاس عبور می کند و دیگر به داخل ناحیه بر نمی گردد. شکل تغییر شکل یافته صفحه بعد از ۰.۰۰۱ s نمای مختلف در شکل (۳) نشان داده شده است.

$$\sigma_a = \sqrt{\frac{6E\rho_p P_m^2 x^{2/(1-x)}}{\rho^2 c^2(1-v)}} \quad (26)$$

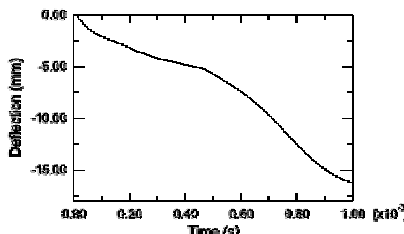
که در آن  $E$  مدول یانگ صفحه،  $P_m$  فشار پیک،  $c$  سرعت صوت در آب و  $x$  معکوس عدد جرم  $\rho$  برای صفحه است که برابر است با:

$$x = \frac{\rho c \theta}{m} \quad (27)$$

که در آن  $\theta$  ثابت زمانی و  $m$  جرم واحد سطح صفحه است. برای این مسئله داریم:

$$\begin{aligned} E &= 2.1 \times 10^11 \text{ Pa} = 4.39 \times 10^9 \text{ psf}, \quad \rho_p = 7800 \text{ kg/m}^3 = 486.95 \text{ pcf}, \quad P_m = 54.27 \text{ MPa} = 1133446.8 \text{ psf}, \\ \rho &= 1025 \text{ kg/m}^3 = 64 \text{ pcf}, \quad c = 1463 \text{ m/s} = 4800 \text{ ft/s}, \\ v &= 0.3, \quad \theta = 29.75 \mu\text{s}, \quad m = 3.206 \text{ psf}, \quad x = 2.851 \end{aligned}$$

بدین ترتیب از فرمول (۲۶) مقدار  $\sigma_a$  برابر ۸۹۶۹.۸ ksf یا ۴۲۹.۵ MPa به دست می آید. همان طور که ملاحظه می شود، این مقدار بسیار نزدیک به جوابی است که از تحلیل عددی به دست آمده است (۴۱۷.۶ MPa).



شکل ۶: نمودار تغییر مکان - زمان برای مرکز صفحه.

### بررسی انفجار روی یک صفحه مستطیلی

در این قسمت اثر موج شوک ناشی از انفجار TNT روی یک صفحه مستطیلی با ابعاد کوچک بررسی شده و مانند بخش قبل، نتایج با روابط تجربی مقایسه می شود. در این مسئله صفحه ای مستطیلی با ابعاد  $0.3 \times 0.25 \text{ m}^2$  و با ضخامت  $2 \text{ mm}$  در معرض انفجار  $30 \text{ cm}$  TNT و در فاصله  $30 \text{ cm}$  از مرکز صفحه قرار می گیرد (شرایط انفجار مانند مسئله قبل است). در اینجا هم پشت صفحه در معرض هوا قرار دارد و جلوی آن، آب به صورت مکعب مستطیلی با همان ابعاد صفحه و طول  $20 \text{ cm}$  مدل می شود و انتهای بخش سیال مدل شده، در فاصله  $10 \text{ cm}$  از محل ماده منفجره قرار می گیرد. نوع المانها و اندرکنش سطح مشترک سازه و

رابطه دیگری توسط Rajendran به این شکر پیشنهاد شده است [۱۶]:

$$\left(\frac{\delta}{t}\right)_c = 0.541\Phi_c - 0.433 \quad (24)$$

که بر اساس این رابطه تغییر مکان برابر  $0.65 \text{ in}$  یا  $16.6 \text{ mm}$  به دست می آید.

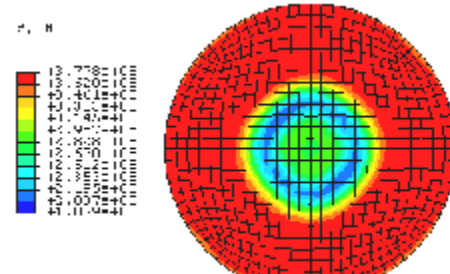
اما Jones نیز روابطی تحلیلی برای پیش بینی نسبت تغییر مکان مرکز صفحات دایره ای به ضخامت آنها ارائه داده است که به این صورت است [۱۰]:

$$\left(\frac{\delta}{t}\right)_c = 0.817\Phi_c \quad (25)$$

بدین ترتیب پیش بینی Jones برای تغییر مکان مرکز این صفحه طبق رابطه (۲۵) معادل  $26.4 \text{ mm}$  به دست می آید.

همان طور که ملاحظه می شود روابط تجربی و تحلیلی پیش بینی های به نسبت نزدیکی با نتایج مدل سازی عددی ارائه می دهند با این تفاوت که روابط تجربی مقادیر کوچک تر و روابط تحلیلی مقادیر بزرگ تر از نتایج عددی به دست می دهند.

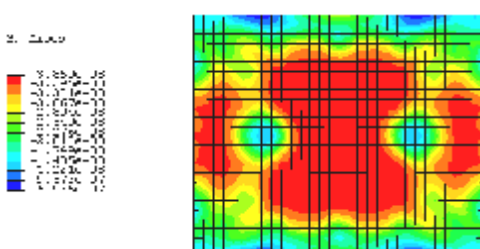
در شکل (۵) تنش فون میسنس  $\sigma_a$  ایجاد شده روی صفحه بعد از  $0.001 \text{ s}$  مشاهده می شود. همان طور که دیده می شود تنش از لبه ها به سمت مرکز در چند ناحیه به طور حلقوی کم و زیاد می شود، به طوری که میزان تنش در لبه ها از مرکز صفحه بیشتر است که علت آن می تواند شرایط تکیه گاهی لبه صفحه باشد که از حرکت آزاد صفحه جلوگیری می کند.



شکل ۵: توزیع تنش فون میسنس روی صفحه در زمان  $0.001 \text{ s}$ .

ماکریم تنش فون میسنس در مرکز صفحه برابر  $417.6 \text{ MPa}$  است. برای صفحات دایره ای ماکریم تنش فون میسنس  $\sigma_a$  از رابطه تجربی زیر قابل پیش بینی است

اختلاف کمی با مدل سازی دارد، اما پیش بینی تحلیلی Jones جواب بزرگتری ارائه می دهد. در شکل (۷) تنش فون میسنس ایجاد شده روی صفحه بعد از ۰.۰۰۱s مشاهده می شود. همان طور که دیده می شود به طور کلی تنش از لبه ها به سمت مرکز افزایش می یابد اما در بعضی نقاط یکنواختی به چشم نمی خورد که می تواند به علت شرایط تکیه گاهی لبه صفحه باشد.



شکل ۷: تنش ون میسنس صفحه در زمان ۰.۰۰۱s .

ماکریم تنش فون میسنس در مرکز صفحه برابر ۴۳۵.۰۲ MPa است. مانند صفحات دایره ای برای ماکریم تنش در مرکز صفحات مستطیلی رابطه زیر در دست است [۱۱]:

$$\sigma_a = 0.867 \sqrt{\frac{14E\rho_p P_m^2 x^{2/(1-x)}}{\rho^2 c^2}} \quad (۳۲)$$

پارامترهای این رابطه مانند رابطه (۲۶) است. بدین ترتیب از فرمول (۳۲) مقدار  $\sigma_a$  برابر ۹۹۳۸.۹ ksf یا ۴۷۵.۹ MPa به دست می آید که کمی بیش از نتیجه مدل عددی است.

### بررسی اثر انفجار زیر آب بر روی لوله ها با ضخامت ها و شرایط مختلف انفجار

در این بخش، مدل های مختلفی از لوله که می تواند بخشی از پایه jacket یک سکوی دریایی باشد، مدل سازی شده و تحت اثر انفجار زیر آب بررسی و با هم مقایسه می شود. لوله ها دارای طول و قطر یکسانی با ضخامت های مختلف هستند که ماده منفجره TNT با مقادیر متغیر و در فواصل مختلف از هر یک از آنها قرار می گیرد و نتایج آنها با هم مقایسه می شود. طول لوله ها همگی ۱۰ m و قطر آنها ۸۰ cm است. طول بلند (۱۰ m) به این خاطر انتخاب شده که شرایط تکیه گاهی دو سر لوله که گیردار در نظر گرفته می شود، کم ترین اثر را

سیال مانند مسئله قبل است. تاریخچه زمانی فشار اعمالی بر نزدیک ترین نقطه به انفجار یعنی مرکز صفحه، با توجه به اینکه شرایط انفجار مانند مسئله قبل می باشد، مطابق شکل (۱) است. نمودار تغییر مکان مرکز صفحه نیز بر حسب زمان در شکل (۶) رسم شده است. ماکریم این تغییر مکان برابر mm ۱۶.۳ است.

پیش بینی Nurick برای تغییر شکل مرکز صفحات مستطیلی به صورت زیر است [۸]:

$$\left(\frac{\delta}{t}\right)_r = 0.471\Phi_r + 0.001 \quad (۲۸)$$

$\Phi_r$  پارامتر بی بعد برای صفحات مستطیلی است و براساس واحدهای انگلیسی از رابطه زیر به دست می آید:

$$\Phi_r = \frac{I_{tot}}{2 t^2 (4ab\rho\sigma_y)^{1/2}} \quad (۲۹)$$

در این رابطه  $a$  و  $b$  به ترتیب نصف طول و نصف عرض صفحه هستند که در اینجا:

$a = 15 \text{ cm} = 5.91 \text{ in}$  ،  $b = 12.5 \text{ cm} = 4.92 \text{ in}$  برای محاسبه  $I_{tot}$  مانند حالت قبل باید سطح مستطیل به سطوح کوچکتر تقسیم و در هر یک  $I$  در مرکز آن  $I_{tot}$  حساب و در مساحت آن ضرب شود و از مجموع آنها به دست آید. در این مسئله مستطیل را به ۲۵ مستطیل  $6 \times 5 \text{ cm}^2$  تقسیم می کنیم و در نهایت خواهیم داشت:

$I_{tot} = 131 \text{ N.s} = 29.45 \text{ lb.s}$  بدین ترتیب  $\Phi_r$  برابر ۱۷.۲۷۰ و تغییر مکان مرکز صفحه in ۰.۶۴ یا ۱۶.۳ mm به دست می آید.

اما رابطه تجربی Rajendran برای صفحات مستطیلی به صورت زیر است [۱۶]:

$$\left(\frac{\delta}{t}\right)_r = 0.553\Phi_r + 0.741 \quad (۳۰)$$

بر طبق این رابطه خواهیم داشت:

$$\delta_r = 0.813 \text{ in} = 20.7 \text{ mm}$$

بر اساس پیش بینی تحلیلی Jones نسبت تغییر شکل به ضخامت برای صفحات مستطیلی با نسبت طول به عرض ۱.۲ به صورت زیر است [۱۰]:

$$\left(\frac{\delta}{t}\right)_r = 0.95 [(1+0.6637\Phi_r^2)^{1/2} - 1] \quad (۳۱)$$

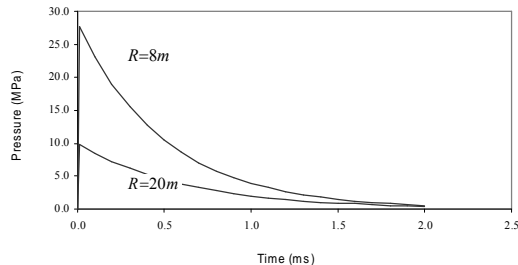
لذا پیش بینی Jones برای تغییر مکان مرکز این صفحه طبق رابطه (۳۱) in ۰.۹۸ معادل ۲۵.۰ mm به دست می آید. بنابراین رابطه Nurick تطابق بسیار خوبی با مدل عددی دارد و پیش بینی Rajendaran نیز به نسبت

از پایه های جکت سکوهای دریابی هستند، بنابراین دو انتهای آنها به صورت گیردار در نظر گرفته می شود که با توجه به اینکه پاسخ سازه در وسط آن مد نظر است، چندان دور از واقعیت نیست. هم چنین به علت اینکه فقط بخشی از سیال که به طور نامحدود اطراف لوله را فرا گرفته مدل می شود، مانند موارد قبل قسمتی از سیال اطراف لوله به صورت محیط آکوستیک مدل شده و در سطح خارجی این ناحیه شرط مرزی پرتوی و غیر انعکاسی اعمال می شود. هم چنین این لوله ها در عمقی از آب فرض می شوند که فواصل به نسبت زیادی از سطح آب و بستر دریا دارند و بنابراین از اثر این دو سطح صرف نظر می شود. هم چنین اثر پالس حباب نیز در نظر گرفته نمی شود و فقط اثر موج شوک روی لوله ها دیده می شود. مدت زمان آنالیز که پاسخ لوله در این مدت بررسی شده برابر  $s = 0.002$  است.

در جدول (۱) مشخصات و نتایج مدل های ساخته شده آمده است. لوله های با ضخامت ۱ تا  $2/5$  سانتی متر به ترتیب با A تا D نام گذاری شده اند. در این جداول ماکریزم تنش فون میسنس از رابطه  $(26)$  و  $(32)$  و تغییر مکان با استفاده از روابط تجربی گفته شده با فرض صفحه دایره ای با قطر برابر با یک پنجم قطر لوله ها و صفحه مستطیلی با عرض برابر یک پنجم قطر لوله و طول  $1.2$  برابر عرض محاسبه شده است. به طور کلی رابطه Nurick برای هر دو حالت صفحه نتایج بهتری برای اثر موج شوک به دست می دهد، البته در ضخامت های بیشتر ( $2.5\text{ cm}$ ) رابطه مربوط به صفحه مستطیلی آن در حدود  $20$  تا  $30$  درصد کوچک تر از نتایج عددی می شود. برای تنش نیز برای ضخامت های پایین ( $1.5\text{ cm}$ ) حدود  $30$  تا  $40$  درصد و برای ضخامت های بزرگتر حدود  $20$  تا  $30$  درصد کوچک تر از نتایج عددی هستند. همان طور که گفته شد، برای لوله با ضخامت  $1\text{ cm}$  اثر انفجار با  $R/a_0 = 60$  که در حقیقت همگی فشار پیک یکسانی دارند نیز بررسی و نتایج آن در جدول (۱) (مدل های A8 تا A5) آمده است و اگر چه با افزایش فاصله (و هم چنین وزن TNT) تنش و تغییر مکان افزایش می یابند اما در مجموع، به ویژه در مورد تنش، نتایج اختلاف زیادی با هم ندارند. نتیجه قابل انتظار دیگر این است که با افزایش ضخامت، تنش و تغییر مکان کاهش می یابد. در شکل های (۹) و (۱۰) تنش فون میسنس به ترتیب برای مدل های A

روی عکس العمل لوله در وسط آن، که مورد بررسی این تحقیق است، داشته باشد. اطراف لوله، آب به صورت استوانه ای تا فاصله  $2.2\text{ m}$  از سطح سازه مدل می شود. لوله ها با ضخامت های  $1$ ،  $2$ ،  $1.5$  و  $2.5$  سانتی متر انتخاب شده اند. ماده منفجره TNT با وزن  $100\text{ kg}$  بوده که برای هر ضخامت لوله در فواصل  $8$ ،  $12$ ،  $16$  و  $20$  متری از سطح لوله و در مقابل وسط لوله (با فاصله برابر از دو سر آن) قرار داده شده است. علاوه بر این مدل ها، برای لوله با ضخامت  $1\text{ cm}$ ، ماده منفجره TNT با وزن های مختلف نیز در فواصل  $8$  تا  $20$  متری بررسی شده است، به گونه ای که برای همه آنها نسبت فاصله به شعاع ماده منفجره برابر  $60$  است ( $R/a_0 = 60$ ). قابل توجه اینکه چگالی TNT برابر  $1.52\text{ gr/cm}^3$  در نظر گرفته شده است.

تاریخچه زمانی فشار شوک در نزدیکترین نقطه سطح لوله به محل انفجار یعنی مرکز سطح لوله با استفاده از همان روابط تجربی مربوط به  $P_m$  و  $P(t)$  اعمال می شود. در شکل (۸) برای نمونه، تاریخچه زمانی فشار شوک مربوط به TNT  $100\text{ kg}$  در فاصله  $8$  و  $20$  متری رسم شده است:



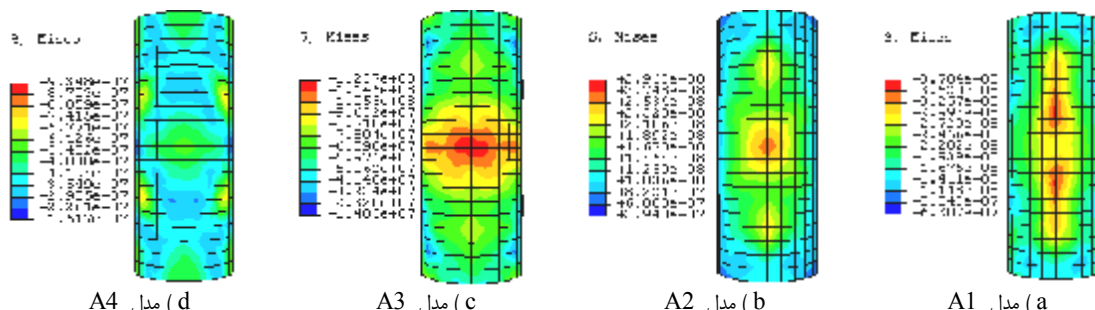
شکل ۸ : تاریخچه زمانی فشار شوک برای  $100\text{ kg}$  TNT در فواصل  $8$  و  $20$  متری

باید توجه شود که در زمان صفر مقدار فشار نیز صفر فرض می شود زیرا همان طور که گفته شد مدت زمانی در حدود  $s = 10^{-7}$  از لحظه انفجار طول می کشد تا موج شوک به نقطه مورد نظر برسد. لوله از جنس فولاد پر مقاومت ST 52 که تنش تسلیم برابر  $385\text{ MPa}$  دارد، در نظر گرفته می شود. لوله با  $2400\text{ المان ۴ گرگی S4R}$  با بعد  $AC3D8R$  حدود  $0.1\text{ m}$  و محیط سیال با  $33800\text{ المان ۰.۱ m}$  و با بعد حدود  $0.2\text{ m}$  مشبندی می شوند. سطح مشترک سازه و سیال مانند مسائل قبل با همان ویژگی ذکر شده به هم بسته می شوند. چون این لوله ها در حقیقت بخشی

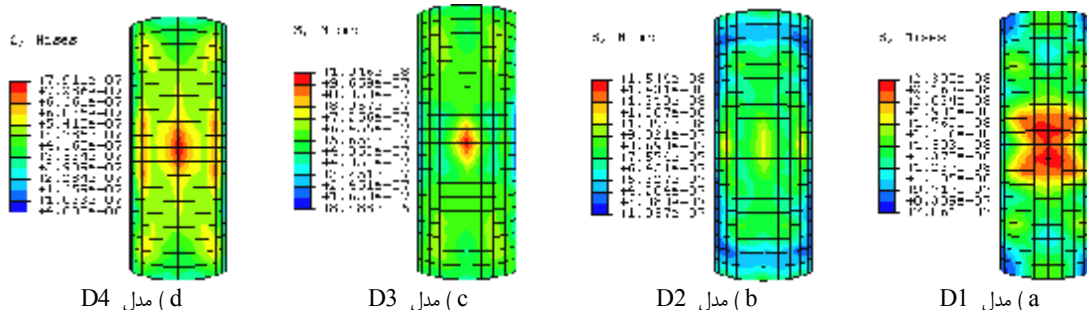
در شکل های (۱۱) تا (۱۴)، نمودار تغییر مکان نقطه وسط لوله و رو به روی انفجار در راستای انتشار موج شوک (که عمدۀ تغییر مکان در همین جهت است) در فواصل مختلف از ماده منفجره برای ضخامت های مختلف لوله (۰.۱ تا ۰.۲۵ m) با هم مقایسه شده اند. همان طور که انتظار می رود با افزایش ضخامت تغییر مکان کاهش می یابد. همچنین از این نمودارها می توان دریافت که در هر فاصله از محل انفجار تغییر مکان مربوط به ضخامت (t1) حدود ۳۰ درصد کمتر از تغییر مکان مربوط به ضخامت ۰.۲۵ cm (t2) است و برای ضخامت های میانی نیز این تغییر مکان به طور یکنواخت و مساوی تغییر می کند.

(ضخامت ۰.۱ cm) و D (ضخامت ۰.۲۵ cm) در پایان زمان آنالیز (۰.۰۰۲ s) و برای دو متر میانه و رو به روی انفجار لوله ها نشان داده شده است.

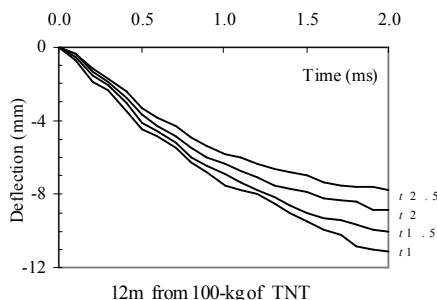
در بعضی موارد از شکل های (۹) و (۱۰) مشخص است که تنش در برخی نقاط اطراف مرکز لوله بیشتر از خود مرکز است، دلیل این موضوع می تواند انتشار کروی موج شوک و محاسبه تاریخچه فشار با تأخیر مکانی و زمانی نسبت به نقطه وسط لوله که نزدیکترین نقطه سطح لوله به محل انفجار است باشد که باعث می شود در زمان مثلًا ۰.۰۰۲ s چنین توزیع تنشی روی سطح لوله شاهد باشیم.



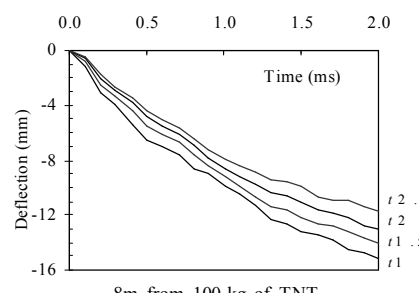
شکل ۹ : تنش فون میسین در زمان ۰.۰۰۲ s برای لوله های با ضخامت ۰.۱ cm در محدوده دو متر میانی لوله و روپروری انفجار.



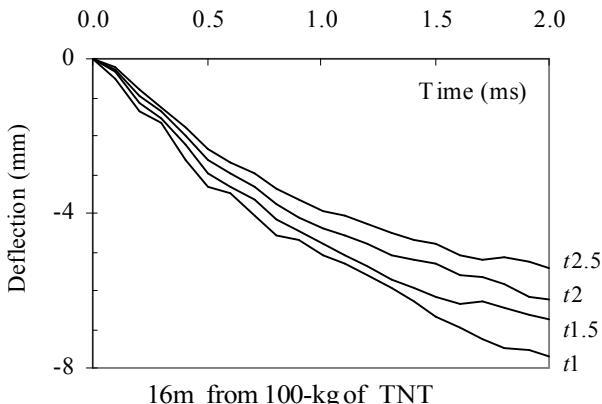
شکل ۱۰ : تنش فون میسین در زمان ۰.۰۰۲ s برای لوله های با ضخامت ۰.۲۵ cm در محدوده دو متر میانی لوله و روپروری انفجار.



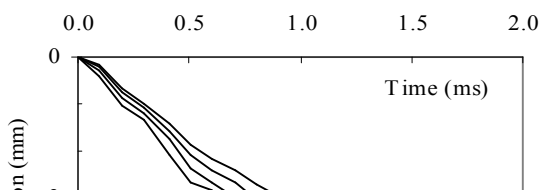
شکل ۱۲ : نمودار تغییر مکان برای انفجار در فاصله ۱۲ متری.



شکل ۱۱ : نمودار تغییر مکان برای انفجار در فاصله ۸ متری. www.SID.ir



شکل ۱۳ : نمودار تغییر مکان برای انفجار در فاصله ۱۶ متری.



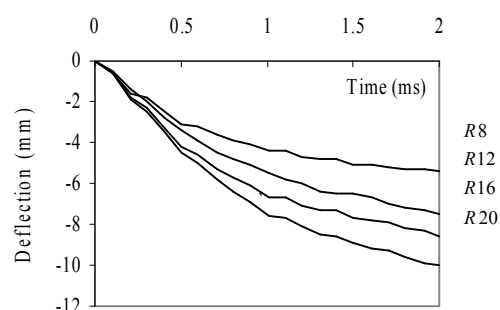
شکل ۱۴ : نمودار تغییر مکان برای انفجار در فاصله ۲۰ متری.

(R) اما با افزایش  $R/a_o$  ثابت (13.83 MPa) به معنی افزایش  $a_o$  است، تغییر مکان نیز افزایش می یابد که علت آن این است که با وجود یکسان بودن حداکثر فشار شوک، ثابت زمانی آنها با افزایش فاصله افزایش می یابد. بنابراین نرخ کاهش فشار با افزایش فاصله کاهش می یابد و سطح زیر منحنی فشار- زمان و در حقیقت ضربه بیشتر می شود. البته این نتیجه به معنی ارتباط مستقیم عکس العمل سازه با فاصله از محل انفجار (R) نیست.

### نتیجه گیری

در این مقاله، شبیه سازی عددی مسائل انفجار زیر آب در مجاور سازه های مغروف انجام شده و با روابط تحلیلی و تجربی موجود مقایسه شده است. نزدیکی نتایج با مشاهدات تجربی در مسائل به نسبت ساده، نشان گرفت کافی مدل عددی برای تحلیل مسائل پیچیده انفجار زیر آب بر سازه های مختلف است. برای لوله های مغروف اگر آنها را معادل صفحه دایروی با قطر یک پنجم قطر لوله

در شکل (۱۵) نیز سری دوم مدل های A5 تا A8 بررسی شده اند. در این شکل نمودار تغییر مکان نقطه وسط لوله و رو به روی انفجار برای لوله با ضخامت ۱ cm برای حالت های مختلف انفجار که همگی  $R/a_o$  برابر 60 دارند را نشان می دهد. در این جا اختلاف حداکثر و حداقل تغییر مکان (در زمان ۰.۰۰۲ s) حدود ۴۵ درصد است.



شکل ۱۵ : نمودار تغییر مکان برای حالات انفجار با  $R/a_o = 60$

در این نمودار مشاهده می شود که با وجود اینکه **w.SID.ir** پیک برای حالات مختلف انفجار مساوی است

العمل سازه بزرگ‌تر خواهد شد، زیرا نرخ کاهش فشار کاهش یافته و میزان ضربه و یا به عبارتی سطح زیر منحنی فشار - زمان افزایش می‌باید. البته بدیهی است که این نتیجه به معنی رابطه مستقیم عکس العمل سازه با فاصله از محل انفجار نیست.

و صفحه مستطیلی با عرض یک پنجم قطر لوله و طول ۱.۲ برابر عرض بگیریم، پیش‌بینی Nurick نتایج به نسبت نزدیکی با نتایج عددی دارد. نتیجه حاصله دیگر این است که در شرایط ثابت بودن فشار پیک در فواصل مختلف هر چه فاصله محل انفجار تا سازه افزایش یابد (که همراه با افزایش شعاع ماده منفجره نیز خواهد بود) عکس

جدول ۱ : مشخصات و نتایج مدل‌ها با ضخامت‌های مختلف.

Model	Charge weight W (kg)	Distance between charge and pipe R (m)	Max. Von-Mises stress (Numerical) (from Eq. (2b))	Max. Von-Mises stress (circular plate) (from Eq. (32))	Max. Von-Mises stress (rectangular plate) (from Eq. (32))	Nurick prediction (Eq. (20))	Rajendran prediction (Eq. (24))	Jones prediction (Eq. (25))	Nurick prediction (Eq. (28))	Jones prediction (Eq. (28))	Rajendran prediction (Eq. (30))	Jones prediction (Eq. (31))
A1	100	8	400/10	303.20	335.96	18.39	18.08	15.87	20.44	19.23	29.91	23.55
A2	100	12	333.08	194.70	215.73	10.29	13.28	9.75	21.21	13.40	23.07	14.53
A3	100	16	254.92	142.12	157.48	7.72	10.79	6.58	16.44	10.38	19.51	10.05
A4	100	20	200.05	111.31	123.35	5.91	9.25	4.62	13.45	8.51	17.32	7.43
A5	15.09	8	270.44	134.67	149.22	5.43	7.06	1.83	9.24	5.84	14.19	4.63
A6	50.94	12	256.10	146.45	162.27	7.53	9.46	4.89	13.86	8.76	17.62	7.78
A7	120.74	16	276.00	153.76	170.38	8.63	11.86	7.95	18.48	11.68	21.05	11.95
A8	235.81	20	287.23	158.84	176.00	10.02	14.27	11.61	23.10	14.60	24.47	16.35
B1	100	8	385.61	279.41	309.60	14.08	13.87	6.83	20.12	12.72	26.02	11.03
B2	100	12	292.89	180.14	199.60	10.02	10.69	2.79	14.02	8.87	21.50	6.12
B3	100	16	218.1	131.86	146.10	6.71	9.05	0.70	10.85	6.87	19.15	3.91
B4	100	20	170.79	103.48	114.66	3.45	8.03	-0.60	8.89	5.63	17.70	2.75
C1	100	8	369.3	260.60	288.76	13.06	12.37	1.26	15.03	9.51	26.01	5.57
C2	100	12	256.9	168.53	186.76	8.89	10.00	*1.76	10.47	6.63	22.63	2.88
C3	100	16	188.71	123.65	137.01	6.24	8.77	-3.32	8.10	5.14	20.88	1.77
C4	100	20	147.61	97.21	107.71	4.90	8.01	-4.29	6.64	4.21	19.79	1.21
D1	100	8	338.46	245.78	272.34	11.74	11.95	-2.76	12.11	7.67	27.43	3.13
D2	100	12	228.17	159.38	176.60	7.78	10.04	-5.19	8.44	5.36	24.70	1.57
D3	100	16	167.39	117.13	129.78	5.45	9.95	-0.45	6.53	4.15	23.29	0.95
D4	100	20	130.83	92.20	102.16	4.38	8.44	-7.23	5.35	3.41	22.41	0.64

## مراجع

- 1 - Cole, R. H. (1948). *Underwater explosions*. NJ, USA, Princeton University Press.
- 2 - Smith, P. D. and Hetherington, J. G. (1994). *Blast and ballistic loading of structures*. Butterworth-Heinemann.
- 3 - Chung, M. and Brett, J. (1997). "Assessment of underwater blast effects on scaled, submerged cylindrical objects." DSTO, Aeronautical and Maritime Research Laboratory.
- 4 - Huang, H. and Wang, Y. F. (1970). "Transient interactions of spherical acoustic waves and a cylindrical elastic shell." *The Journal of the Acoustical Society of America*, Vol. 48, No.1, PP. 228-235.
- 5 - Huang, H. and Wang, Y. F. (1971). "Early-time interaction of spherical acoustic waves and a cylindrical elastic shell." *The Journal of the Acoustical Society of America*, Vol. 50, No.3, PP. 885-891.
- 6 - Geers, T. L. and Hunter, K. S. (2002). "An integrated wave-effects model for an underwater explosion bubble." *Journal of Acoustical Society of America*, Vol. 111, No.4, PP. 1584-1601.
- 7 - Nurick, G.N. and Martin, J. B. (1989). "Deformation of thin plates subjected to impulsive loading-a review, Part I : theoretical consideration." *International Journal of Impact Engineering*, Vol. 8, No.2, PP.159-170.
- 8 - Nurick, G. N. and Martin, J. B. (1989). "Deformation of thin plates subjected to impulsive loading-a review, Part II : experimental studies." *International Journal of Impact Engineering*, Vol. 8, No.2, PP.171-186.
- 9 - Teeling-Smith, R.G. and Nurick, G. N. (1991). "Deformation and rupture of blast loaded circular plates-predictions and experiments." *International Journal of Impact Engineering*, Vol. 11, No.1, PP.77-91.
- 10 - Rajendran, R. and Narasimhan, K. (2006). "Deformation and fracture behaviour of plate specimens subjected to underwater explosion-a review." *International Journal of Impact Engineering*, Vol. 32, PP.1945-1963.
- 11 - Rajendran, R. and Narasimhan, K. (2001). "Linear elastic shock response of plane plates subjected to underwater explosion." *International Journal of Impact Engineering*, Vol. 25, PP. 493-506.
- 12 - Bangash, R.Y. H. (1993). *Impact and Explosion*. Oxford, Blackwell scientific publications.
- 13 - Lam, K.Y., Zong, Z. and Wang, Q. X. (2003). "Dynamic response of a laminated pipeline on the seabed subjected to underwater shock." *Composites Part B*, Vol. 34, PP. 59-66.
- 14 - Zong, Z., Lam, K.Y. (2000). "The flexural response of a submarine pipeline to an underwater explosion bubble." *Journal of Offshore Mechanics and Arctic Engineering*, Vol. 122, PP. 194-199.
- 15 - *ABAQUS User's Manual*. (2003). Ver. 6.4.
- 16 - Rajendran, R. and Narasimhan, K. (2001). "Performance evaluation of HSLA steel subjected to underwater explosion." *ASM, Journal of Materials Engineering and Performance*, Vol. 10, PP. 66-74.

## واژه های انگلیسی به ترتیب استفاده در متن

- |                                      |  |
|--------------------------------------|--|
| 1- Explosion                         | 2- High explosive                              |
| 3- Pressure pulse                    | 4- Shock wave                                  |
| 5- Bubble pulse                      | 6- Cavitation                                  |
| 7- Peak pressure                     | 8- Coupled acoustic-structural medium analysis |
| 9- Compressible                      | 10- Volumetric drag                            |
| 11- Inviscid                         | 12- Bulk modulus                               |
| 13- Radiating acoustic boundary      | 14- Transient analysis                         |
| 15- Weak form                        | 16- Traction                                   |
| 17- Mass proportional damping factor | 18- Discretize                                 |
| 19- Strain interpolator              | 20- Explicit dynamic integration               |
| 21- Nonreflecting                    | 22- Impulse                                    |
| 23- Von-Mises                        | 24- Inverse mass number                        |